

早稲田大学 正員 遠藤郁夫 学生員 鎌田 修
建設省 土木研究所 正員 柏谷 衛

1. まえがき

散水ろ床の浄化機構を解析するためには、種々の面から重要な因子を検討しなければならぬが、本実験はトレーサーの濃度一時間曲線と未め、平均滯留時間、及びその曲線の形状から、ろ床の水理学的特性を考察する目的ではじめたものである。

2. 実験方法

散水ろ床の実験装置は、直径60cm、高さ280cmとした。ろ材は直径3cmの磁器球を用いた。トレーサーとしては6%の食塩水を、散水負荷1ml/min当り0.4mgになるようにろ床頂部に均一に散布した。散水負荷は1~300 m³/日_日の範囲で実験した。濃度一時間曲線の中心と平均滯留時間とした。

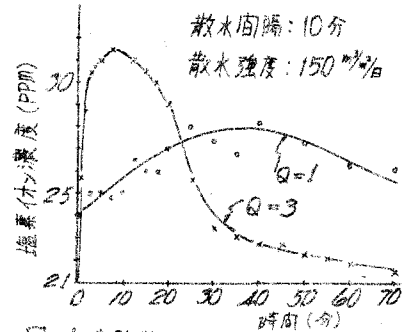


図-1 間歇散水による濃度一時間曲線

3. 実験結果と考察

3-1 散水負荷 1~4 m³/日

散水負荷 1, 2, 3 および 4 m³/日、散水間隔 5, 10 および 15 分、散水強度 150 m³/日とした場合の平均滯留時間を未めた。散水負荷が一定であれば平均滯留時間は散水間隔に殆んど左右されず、それぞれ 50, 27, 16, 12 分であった。図-1 は間歇散水、図-2 は連続散水の場合の濃度一時間曲線である。平均滯留時間は間歇散水の方が長いことが認められる。

3-2 散水負荷 5~300 m³/日

散水負荷 10~50 m³/日の場合の濃度一時間曲線と図-3 に示した。散水負荷が大きくなると、ピーク時の塩素イオン濃度が大きくなるとともに、曲線はピークを通る縦軸に対して対称に近くなる。また、1~300 m³/日の場合の平均滯留時間は図-4 に示してある。平均滯留時間は、1~10 m³/日の範囲では急激に減少するが、10~80 m³/日の範囲は緩慢である。

15~30 m³/日の範囲では、約 230~

160 秒であった。

100 m³/日以上では、

平均滯留時間の差は、

事実上認め難い。

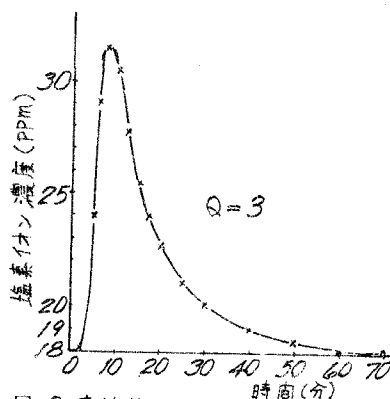


図-2 連続散水による濃度一時間曲線

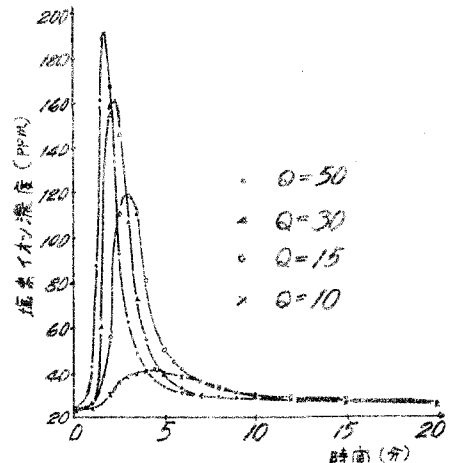


図-3 濃度一時間曲線

3.3 平均滯流時間の計算値と実測値

散水層の平均滯流時間を計算から求めるのに、すでにいくつかの式が提案されている。その代表的なものとして、

1) 左合の式(1954年)

$$t = 0.317 r^{0.75} Q^{-0.75} \quad (1)$$

2) Howlandの式(1957年)

$$T_r = 3.928 \cdot H \cdot (r/g)^{1/3} \cdot (S/Q)^{2/3} \quad (2)$$

3) Sinkoffの式(1959年)

$$T_r = 2.738 \cdot H \cdot (r/g)^{0.25} \cdot (S/Q)^{0.33} \quad (3)$$

T_r : 平均滯流時間 [sec]

t : 球1ヶ当りの滯流時間 [sec]

H : 層の深さ [m], r : 球の直径 [mm]

g : 重力の加速度 [m/sec^2], Q : 散水負荷 [m^3/m^2]

S : 層の比表面積 [$1/m$],

Q_0 : 球1ヶ当りの散水量(注水量) [cm^3/sec]

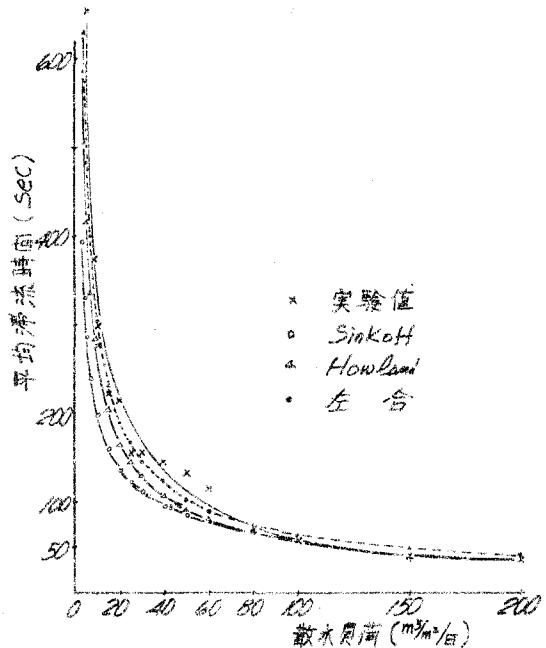


図-4. 平均滯流時間

などがある。これらの式はそれぞれ2, 3の仮

定のもとに成立している。(1), (2)および(3)式の計算値と実測値とを図-4に示した。各式から求めた計算値は散水負荷が小さいとき程との差は大きい。80%以上では事実上差がない。20~40%の付近では40~50秒の差があり、平均滯流時間の20~30%に相当する。全体的に見ると(1)式はかなり実測値と近似している。つまり、水の粘性、層の表面積など考慮しなくとも実験の範囲内では、かなりよく一致していることが認められる。

3.4. 濃度-時間曲線のピーク時における塩素イオン濃度

散水量 $1 m^3/min$ 当り $0.4 mg$ の割合で6%の食塩水をトレーサーとして用いたので、層内で充分混合していれば、塩素イオンは約200ppm以下になるはずである。つまり、付着水層 (fixed-water layer) と流下層 (moving-water layer) との間の境界現象が考えられる。散水負荷 $60 m^3/m^2$ 以上になると急激に塩素イオン濃度が増大する。トレーサーとしての食塩水が未塩となりて透過したためと考えられる(図-5)。

4. 結論

散水層における水理学的特性を検討するためには、平均滯流時間のみならず、濃度-時間曲線のピーク時における塩素イオン濃度、およびその形状などを解析することが大切であるように考えられる。

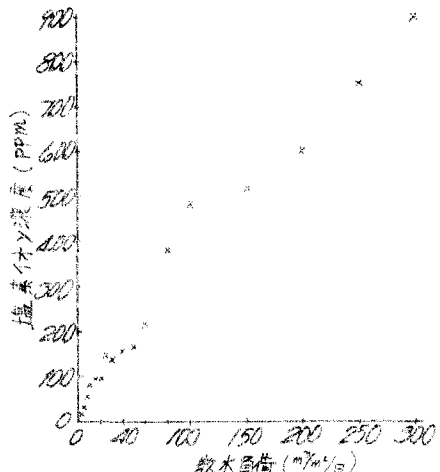


図-5. ピーク時における塩素イオン濃度